

На правах рукописи



Яковлев Владислав Александрович

**Раннепалеозойские минглинг дайки
Эрзинской тектонической зоны Западного Сангилена (ЮВ Тува)**

1.6.3. – Петрология, вулканология

Автореферат диссертации на соискание ученой степени
кандидата геолого-минералогических наук

Новосибирск -2024

Работа выполнена в Федеральном государственном бюджетном учреждении науки Институте геологии и минералогии им. В.С. Соболева Сибирского отделения Российской академии наук (ИГМ СО РАН), г. Новосибирск.

Научный руководитель к.г.-м.н., доцент, с.н.с. ИГМ СО РАН Кармышева Ирина Владимировна

Официальные оппоненты:

Скляров Евгений Викторович, доктор геолого-минералогических наук, член-корреспондент РАН, главный научный сотрудник Института земной коры СО РАН (г. Иркутск)

Осипова Татьяна Алексеевна, кандидат геолого-минералогических наук, ведущий научный сотрудник Института геологии и геохимии им. академика А.Н. Заварецкого УрО РАН (г. Екатеринбург).

Ведущая организация: Федеральное государственное бюджетное учреждение науки Институт геологии рудных месторождений, петрографии, минералогии и геохимии Российской академии наук (ИГЕМ РАН) (г. Москва)

Защита состоится «6» марта 2025 года в 10.00 часов на заседании Диссертационного совета 24.1.050.01, созданного на базе ФГБУН ИГМ СО РАН, в конференц-зале (630090, г. Новосибирск, пр-т ак. Коптюга, 3).

Отзыв в одном экземпляре, оформленный в соответствии с требованиями Минобрнауки России, просим направлять по адресу: 630090, г. Новосибирск, пр-т ак. Коптюга, 3, Котлярову А.В. Тел./факс: +7 (383) 373-03-28; +7(383) 373-05-61, e-mail: kotlyarov@igm.nsc.ru.

С диссертацией можно ознакомиться в библиотеке и на сайте ФГБУН ИГМ СО РАН https://www.igm.nsc.ru/images/diss/loadfiles_dzubenko/yakovlevVA/dis-YakovlevVA.pdf.

Автореферат разослан «3» февраля 2025 года.

Ученый секретарь диссертационного совета
24.1.050.01, к.г.-м.н.



А.В. Котляров

ОБЩАЯ ХАРАКТЕРИСТИКА РАБОТЫ

Актуальность исследования

Понимание механизмов, обуславливающих разнообразие изверженных пород, является фундаментальной научной проблемой петрологии. Согласно современным представлениям, смешение мафических и салических магм, как следствие мантийно-корового взаимодействия, рассматривается в качестве одного из таких механизмов (Hibbard, 1981; Anderson, 1982; Sparks, Marshall, 1986; Wiebe, 1994; Perugini, Poli, 2005; Reubi, Blundy, 2009; Kent et. al., 2010; и др.). Минглинг дайки, наравне с магматическими микрогранулярными включениями в гранитоидных массивах, являются типичным примером композитных магматических систем, формирующихся за счет смешения контрастных по составу магм.

Многочисленные исследования мафических включений (Baxter, Feely, 2002; Barbarin, 2005; Скляров, Федоровский, 2006; Sarjoughian et al., 2012; Burmakina, Tsygankov, 2013; Clemens, Bezuidenhout, 2014; Torkian, Jacob et al., 2015; Furman, 2015; Yang et al., 2016; Chen et al., 2016, и др.) позволили сформулировать четкие критерии для идентификации композитных систем, а также обозначить основные термодинамические параметры, контролирующие поведение магм. Условия формирования минглинг даек отличны от таковых для мафических включений, что делает актуальным ряд вопросов, касающихся как механизмов взаимодействия контрастных магм в дайковых условиях, так и влияния магматического смешения на конечные составы пород.

Поскольку одним из ключевых факторов, определяющих образование дайковых комплексов, является тектоника, изучение минглинг даек раскрывает проблему влияния данного фактора на внедрение и становление композитных магматических систем.

Объекты исследования

Объектами исследования являются минглинг дайки, локализованные в пределах Эрзинской тектонической зоны на юго-западной окраине Тувино-Монгольского массива (Западный Сангилен, ЮВ Тува).

Цель и задачи исследования

Цель работы – на основе сопоставления данных о геологической позиции, составе и возрасте минглинг даек Эрзинской тектонической зоны Западного Сангилена выявить характерные черты и реконструировать условия взаимодействия контрастных по составу магм композитных дайковых систем, формирующихся в коллизионной обстановке (юго-западная окраина Тувино-Монгольского массива, Центрально-Азиатский складчатый пояс).

Задачи: 1) охарактеризовать внутреннее строение, петрографический и минералогический состав пород минглинг даек Эрзинской тектонической зоны Западного Сангилена, провести их систематику; 2) обобщить имеющиеся данные о возрасте пород минглинг даек; 3) выявить характеристики магматических источников пород минглинг даек; 4) выяснить влияние процессов магматического смешения на конечные составы пород минглинг даек; 5) провести сравнительный анализ

вещественных характеристик и возраста пород минглинг даек с плутоническими комплексами Западного Сангиlena.

Научная новизна

1. Проведена систематика минглинг даек Эрзинской тектонической зоны Западного Сангиlena, выделены группы комбинированных и синплутонических даек. Для всех даек предложены собственные механизмы формирования.

2. Впервые обобщены геохронологические данные по синхронному базит-гранитному дайковому магматизму в раннепалеозойских структурах Западного Сангиlena. Выявлены факторы, влияющие на пространственно-временную локализацию минглинг даек региона исследований.

3. Определен петrogenезис и охарактеризованы источники всех разновидностей пород минглинг даек Эрзинской тектонической зоны Западного Сангиlena, проведено сравнение с одновозрастными базитовыми и гранитоидными комплексами региона. Показано, что при смещении в дайковых условиях возможно не только механическое взаимодействие контрастных по составу магм, но и их гибридизация.

4. Установлено, что формирование минглинг даек является синкинематическим процессом. Деформации являются одним из факторов, обеспечивающих благоприятные условия для возникновения областей существования контрастных по составу магм, и во многом определяют морфологию даек.

Практическая значимость

Результаты исследований минглинг даек Западного Сангиlena дополняют существующие представления о связи базитового и гранитоидного коллизионного магматизма региона. Полученные результаты могут быть использованы для выделения и корреляции магматических комплексов, а также при определении основных этапов эволюции аккреционно-коллизионных систем.

Защищаемые положения

1. Становление минглинг даек Эрзинской тектонической зоны Западного Сангиlena произошло в период 495-485 млн лет на среднекоровом уровне глубинности (4-5 кбар) в обстановках синсдвигового растяжения. Взаимодействие контрастных по составу магм происходило при формировании комбинированных (заполнение композитной магматической смесью слепых трещин во вмещающих породах) и синплутонических (внедрение базитовой магмы в кристаллизующиеся plutоны кислого состава) даек.

2. Мафические породы комбинированных и синплутонических даек идентичны по химическому составу, формирование их материнских расплавов протекало за счет плавления субдукционно-метасоматизированной литосферной мантии. Салические породы комбинированных даек разнообразны по составу и являются продуктом плавления неоднородного корового субстрата (метаморфических пород эрзинского комплекса).

3. Основным механизмом взаимодействия контрастных по составу магм при образовании минглинг даек Западного Сангилена является механическое смешение. Свидетельства магматической гибридизации зафиксированы в одной комбинированной дайке и идентифицируются по обогащению базитов HFSE, LILE, Th. Данные особенности состава гибридных пород являются следствием изменения физико-химических условий кристаллизации контрастных магм при их взаимном диспергировании на стадии перемещения композитной магматической смеси по ослабленным зонам.

Фактический материал и личный вклад

Основой работы является коллекция образцов пород базитовых, гранитоидных и минглинг даек Западного Сангилена, отобранных при участии автора в ходе экспедиционных работ 2015-2018 гг. Всего опробовано 23 минглинг дайки (92 образца, в том числе, породы базитового ряда – 56, гранитоиды – 36); 10 базитовых и 6 гранитоидных даек. Авторские материалы дополнены данными сотрудников ИГМ СО РАН (В.Г. Владимирова, И.В. Кармышевой, Д.В. Семеновой, М.Л. Куйбida). В процессе работы был получен представительный аналитический материал. Автором было изучено и описано более 150 шлифов и пластиинок. При участии автора было выполнено 3 определения абсолютного возраста U-Pb методом. Используются результаты 92 рентгенено-флюoresцентных определений на содержание главных компонентов в породах даек, 48 масс-спектрометрических анализов на содержание редких элементов, около 500 анализов состава минералов.

Апробация работы и публикации

По теме диссертации опубликовано 6 статей в рецензируемых журналах, рекомендованных ВАК. Результаты исследований были представлены на совещаниях: Сибирская научно-практическая конференция молодых ученых по наукам о Земле (ИГМ СО РАН, 2014); Байкальская молодежная научная конференция по геологии и геофизике (ГИН СО РАН, 2015); Петрология магматических и метаморфических комплексов (ТГУ, 2016); Строение литосферы и геодинамика (ИЗК СО РАН, 2017); Международная конференция молодых ученых и специалистов памяти академика А. П. Карпинского (ВСЕГЕИ, 2017); Корреляция Алтайд и Уралид: глубинное строение литосферы, стратиграфия, магматизм, метаморфизм, геодинамика и металлогенез (ИГМ СО РАН, 2018); Геологические процессы в обстановках субдукции, коллизии и скольжения литосферных плит (ДВГИ ДВО РАН, 2018); Геология на окраине континента (ДВГИ ДВО РАН, 2019); Проблемы минералогии, петрографии и металлогенеза. Научные чтения памяти П.Н. Чирвинского (ПГНИУ, 2020).

Структура и объем диссертации

Работа состоит из введения, семи глав, заключения и приложения. Диссертация изложена на 160 страницах, содержит 61 иллюстрацию и 22 таблицы. Список литературы включает 233 наименования. Сокращения названий минералов приведены по (Warr, 2021).

Благодарности

Диссертация подготовлена в лаборатории Структурной петрологии Института геологии и минералогии им. В.С. Соболева Сибирского отделения Российской академии наук. Неоценимую помощь и поддержку на всех этапах работы оказала научный руководитель И.В. Кармышева. Автор благодарен В.Г. Владимирову за замечания, помощь и консультации в ходе подготовки публикаций и диссертации. Р.А. Шелепаеву, М.Л. Куйбиду, Я.В. Куйбиду, А.Е. Смоляковой, А.А. Цыганкову, Г.Н. Бурмакиной, В.Б. Хубанову за продуктивные дискуссии в ходе совместных экспедиционных и камеральных работ. Д.В. Семеновой за проведение изотопно-геохронологических исследований, Н.Г. Кармановой и И.В. Nikolaевой за определение валового состава пород, Е.Н. Нигматулиной за помощь в определении состава минералов. За ценные замечания и критику автор благодарен сотрудникам ИГМ СО РАН А.Э. Изоху, О.М. Туркиной, С.Н. Рудневу, А.Г. Дорошкевич, Н.Н. Круку, С.В. Хромых. Работа выполнена по государственному заданию ИГМ СО РАН (№ 122041400176-0).

ОСНОВНОЕ СОДЕРЖАНИЕ РАБОТЫ

В первой главе описаны методические подходы и аналитические методы исследования. В диссертации используются результаты рентгено-флюoresцентных определений на содержание главных компонентов, масс-спектрометрических анализов на содержание редких элементов, а также анализов состава минералов. Аналитические исследования выполнены в Центре многоэлементных и изотопных исследований ИГМ СО РАН.

Вторая глава посвящена литературному обзору сведений о смешении контрастных по составу магм. Описаны факторы, контролирующие смешение, охарактеризованы петрографические свидетельства сосуществования магм, дана типизация геологических объектов с признаками магматического смешения, а также рассмотрены различные классификации минглинг даек.

В третьей главе систематизированы литературные данные о геологическом строении Западного Сангилена. Вещественные комплексы региона сформировались в раннем палеозое в ходе коллизионного скучивания разнородных фрагментов коры: Таннуольской островной дуги, Агардагского задугового бассейна и Тувино-Монгольского микроконтинента (Гоникберг, 1997, 1999; Козаков и др., 1999; Гибшер и др., 2000; Кузьмичев, 2004; Владимиров и др., 2005). Нижний структурный ярус региона исследований обладает блоковым строением (Приложение 1): выделяются Мугуро-Чинчилигский и Эрзин-Нарынский тектонические блоки, а также Эрзинская и Кокмогаргинская сдвиговые (тектонические) зоны. Последние представляют собой проникающие области высокотемпературной милонитизации и вязко-пластичного течения горных пород (Владимиров и др., 2005). Геологические комплексы региона были сформированы в ходе аккреционно-островодужного (570-535 млн лет) и коллизионного (535-440 млн лет) этапов тектоногенеза. Рубеж 495 млн лет характеризуется сменой тектонического режима транспрессии на транстенсию, идентифицируемый по смене кинематики деформаций со взбросовой на левосдвиговую (Владимиров и др., 2005, 2017).

В четвертой главе приводится характеристика внутреннего строения, петрографического и минерального состава пород простых и минглинг даек, проведена типизация минглинг даек, обоснована их синкинематическая природа и оценен глубинный уровень внедрения. Изученные минглинг дайки разделены на группы синплутонических (участки Восточный, Стрелка) и комбинированных (участки Матут, Баянкол, РЛС, Тавыт-Даг, Сайзырал). Комбинированные дайки отличаются от простых тем, что это композитные магматические тела, сложенные базитами и гранитоидами с минглинг взаимоотношениями. Как и простые дайки, они имеют секущие контакты с вмещающими породами. Синплутонические дайки также сложены базитами и гранитоидами, однако, в отличие от комбинированных, не имеют секущих контактов с вмещающими породами. Это обусловлено тем, что в качестве салической компоненты синплутонических даек выступают непосредственно вмещающие гранитоиды: граниты Нижнеэрзинского массива (участок Стрелка), параавтохтонные граниты эрзинского комплекса (участок Восточный).

Комбинированные дайки участков Матут, Баянкол и РЛС устроены относительно просто: а) контакты с вмещающими породами секущие; б) в объеме даек преобладают мафические породы, занимающие центральные части даек; в) гранитоиды сосредоточены в краевых частях, а также выполняют маломощные «прожилки» в базитах; г) в салических породах краевых частей даек встречаются мелкие (до 5 см) нодули базитов преимущественно округлой формы; д) контакты контрастных пород в центральных частях даек сложные (фестончатые, лопастевидные, пламеневидные), в краевых – линейные; е) зоны переходного состава на контакте базитов и гранитоидов отсутствуют.

Комбинированные дайки участка Тавыт-Даг – это система слепых эшелонированных крутопадающих разрывов, заполненных преимущественно мафическими породами. Контакты с вмещающими гранитами Матутского массива секущие. В строении дайки выделяется две зоны. Осевая часть дайки более чем на 90% сложена мафическими породами, граниты формируют тонкие (до 5 см) прожилки, разделяя базиты на фрагменты, обуславливая сетчатый облик зоны. Данное распределение мафических и салических пород является признаком синкинематического образования сетчатой структуры (Владимиров и др., 2019). Зона пластичности (краевая зона) сложена мафическими и салическими породами в соотношении 2:1. Размер базитовых фрагментов, по сравнению с осевой частью дайки, значительно уменьшается. В обеих зонах морфология контактов как сложная, так и линейная.

Комбинированная дайка участка Сайзырал счет паравтохтонные граниты эрзинского комплекса и падает полого, согласно ориентировке полосчатости во вмещающих породах. Дайка разделена на три части, нижняя часть дайки сложена диоритами и габбро, пронизанных жилами гранитоидов. Контакты между диоритами и габбро прослеживаются по текстурным особенностям пород: диориты насыщены глимероскоплениями Amp и Bt. Мощность гранитоидных жил варьирует от 1 до 20 см, их контакты с мафическими породами фестончатые. В наиболее крупных жилах фиксируются округлые фрагменты диоритов. Средняя часть комбинированной дайки

сложена лейкогранитами с включениями диоритов и глыбами гранулитов темноцветных минералов. Здесь типичны синмагматические структуры отрыва фрагментов диоритов от основной массы диоритов нижней части дайки. Контакты лейкогранитов и диоритов всегда сложно устроены, в единичных случаях наблюдаются узкие (до 3 см) переходные зоны, сложенные породами с промежуточным цветовым индексом. Верхняя часть дайки сложена лейкогранитами с единичными мелкими включениями диоритов и широко распространенными глыбами гранулитов темноцветных минералов.

Синплутонические дайки участка Стрелка – это серия субвертикальных тел базитового состава, имеющих минглинг взаимоотношения с вмещающими гранитоидами Нижнеэрзинского массива. Дайки с невыдержаным простиранием и видимой протяженностью от нескольких десятков до сотен метров. В их строении преобладают мафические породы, граниты образуют сеть маломощных «прожилков», структурно и петрографически неотличимых от вмещающих гранитоидов. Форма и размер мафических тел крайне разнообразна, наблюдаются изометричные, вытянутые в одном или двух направлениях, дендроидной формы с элементами вязкого будинирования фрагменты размером от долей см до нескольких метров. Морфология контактов контрастных пород практически всегда имеет лопастевидный, фестончатый и пламеневидный характер, прямолинейные контакты встречаются крайне редко. Часто наблюдаются сложно устроенные контактные зоны, четко фиксирующиеся по изменению состава и зернистости пород.

Строение участка Восточный включает в себя мигматиты и парав autoхтонные гнейсограниты эрзинского комплекса, крупно- и гигантопорфировые гранитоиды ухадагского комплекса, а также минглинг дайки. Минглинг структуры фиксируются на контакте гнейсогранитов и мафических пород. В мигматитах распространены индикаторные деформационные структуры, отвечающие горизонтальному транспорту вещества. Контакт мигматитов и гнейсогранитов неявный, фиксируется по исчезновению в последних полосчатости и повышению лейкократовости. Базиты в гнейсогранитах образуют как изолированные фрагменты размером от первых сантиметров до метра, так и S-образные цепочки, ориентировка которых соответствует кинематике деформаций в мигматитах. Контакты контрастных по составу пород как сложные, так и линейные.

Базиты простых даек представлены роговообманиковыми габбро с содержаниями Crh до 40 % (Crh 20-40 %, Pl 50-65 %, Amp 5-10 %, Bt 5-10 %), в то время как петрографический состав мафических пород минглинг даек варьирует от роговообманиковых габбро с содержаниями Crh <10 % (Crh 5-10 %, Pl 40-50%, Amp 30-40%, Bt 5-10%) до кварцевых диоритов (Pl 40-50%, Amp 10-15%, Bt 25-30%, Qz 5-15%). Crh в мафических породах минглинг даек встречается крайне редко и всегда частично замещен амфиболом. Все породы с глыбами гранулитов (Amp, Bt-Amp скопления). Аксессорные минералы представлены оксидами Fe в Crh-содержащих габбро, ксеноморфным титанитом и игольчатым апатитом в остальных разновидностях пород.

По петрографическому составу гранитоиды комбинированных даек разделены на две группы: а) двуслюдянные двуполевошпатовые лейкограниты, идентичные лейкогранитам простых даек; б) Bt-Amp и Bt граниты. Салическими породами синплутонических даек являются гранитоиды Нижнеэрзинского массива (участок Стрелка) и параавтохтонные граниты эрзинского комплекса (участок Восточный). Все изученные породы без признаков деформирования, за исключением габбро комбинированной дайки участка Сайзырал, обладающие свидетельствами внутрикристаллических деформаций – в плагиоклазах наблюдаются деформационные двойники, в амфиболах присутствуют полосы излома.

Проанализированы составы амфиболов, полевых шпатов и слюд всех разновидностей горных пород минглинг даек участков Сайзырал и Стрелка. Амфиболы диоритов и переходных пород комбинированной дайки Сайзырал идентичны по составу и соответствуют магнезиальной роговой обманке ($\#Mg = 0.56-0.63$). Амфиболы из габбро имеют $\#Mg 0.56-0.73$. Биотит распространен во всех типах пород, по железистости выделяется три группы: биотиты габбро, диоритов и переходных пород, лейкогранитов. Состав плагиоклазов габбро сильно варьирует: составы ядер ($An_{58}-An_{37}$) и промежуточных зон ($An_{59}-An_{35}$) отвечают андезину и лабрадору, краевых зон – андезину, олигоклазу и альбиту ($An_{34}-An_8$). Состав плагиоклазов из лейкогранитов более выдержан: ядра представлены олигоклазом ($An_{21}-An_{13}$), промежуточные зоны олигоклазом и альбитом ($An_{20}-An_1$), краевые зоны – олигоклазом, альбитом и аортоклазом ($An_{21}-An_2$). Составы плагиоклазов из диоритов и гибридных пород идентичны и являются наиболее постоянными (лабрадорит и андезин, $An_{60}-An_{36}$).

Амфиболы всех разновидностей пород синплутонических даек участка Стрелка имеют идентичные составы, отвечая магнезиальной роговой обманке. Биотиты всех разновидностей пород также идентичны по составу. Плагиоклазы диоритов и пород переходных зон незональные, по составу идентичны и отвечают андезину. Плагиоклазы двуполевошпатовых гранитов также не зональные, их состав варьирует от андезина до олигоклаза.

Оценка глубины смешения контрастных магм. Для оценки глубины смешения контрастных магм были определены РТ-условия кристаллизации пород комбинированной дайки Сайзырал и синплутонических даек участка Стрелка. Для вычислений использовались составы центральных частей амфиболов и плагиоклазов из габбро и диоритов дайки Сайзырал, диоритов и двуполевошпатовых гранитов Нижнеэрзинского массива. Расчеты проведены с использованием Amp-P1 термобарометра (Holland, Blundy, 1994), Amp термометра (Putirka, 2016) и Amp барометра (Rudolfi, Renzulli, 2012), результаты приведены на Рисунке 1.

Пятая глава посвящена обзору опубликованных изотопно-геохронологических данных по лейкогранитным и минглинг дайкам, выявлена геологическая позиция минглинг даек. Выводы об абсолютном возрасте основываются на результатах изучения цирконов из мафических и салических пород даек участков Тавыт-Даг (479 ± 24 млн лет – гранит; 490 ± 16 млн лет – диорит) (Tsygankov et al., 2019); Сайзырал (495 ± 5 млн лет – лейкогранит; 485 ± 12 млн лет –

диорит) (Tsygankov et al., 2019); (487 ± 3 млн лет – лейкогранит) (Yakovlev et al., 2024); лейкогранитов дайки, секущей мигматиты эрзинского комплекса (486 ± 2 млн лет) (Karmysheva et al., 2021); двуполовошпатовых гранитов Нижнеэрзинского массива (487 ± 2 млн лет) (Кармышева и др., 2022а). Возраст синплутонических даек участка Восточный отвечает времени формирования параавтохтонных гранитов эрзинского комплекса (~ 485 млн лет) (Karmysheva et al., в печати). Результаты изотопно-геохронологических исследований указывают на формирование изученных минглинг даек в возрастном диапазоне ~ 495–485 млн лет на позднеколлизионном этапе развития геологических структур Западного Сангилена.

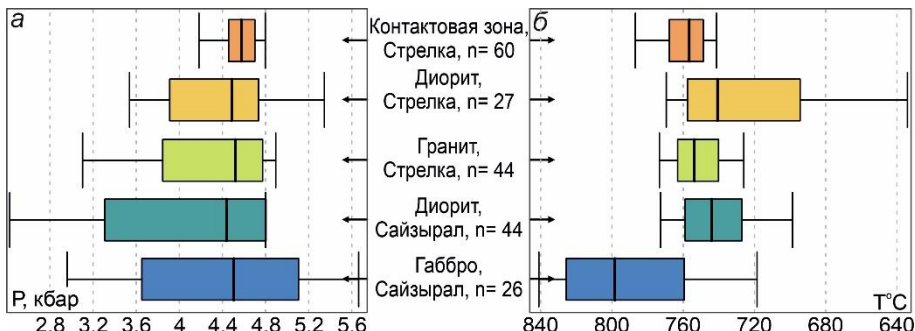


Рисунок 1. Обобщенные результаты вычислений давления и температур кристаллизации пород минглинг даек участков Сайзырал и Стрелка.

Геологическая позиция минглинг даек. Медианные значения давления кристаллизации всех разновидностей пород минглинг даек близки и составляют ~ 4.6 кбар. С учетом того, что 1 кбар литостатического давления отвечает 3.3 км земной коры, усредненная глубина смешения контрастных магм оценивается в 15–16 км, что отвечает уровню средней коры (Рисунок 2 а). Полученные результаты не противоречат опубликованным данным по глубинности становления крупных габбро-монцодиоритовых массивов Западного Сангилена (Egorova et al., 2006). Полученные оценки давления кристаллизации пород минглинг даек (с учетом погрешности, 4–5 кбар) ниже таковых для тесхемского и эрзинского метаморфических комплексов (5.3–7.2 кбар) (Рисунок 2 а). Данный эффект можно объяснить как общим изостатическим утонением коры, так и образованием областей локального понижения давления при внедрении даек. Поскольку полученные значения идентичны для комбинированных и синплутонических даек, вклад понижения общего давления представляется доминирующим.

Согласно (Владимиров и др., 2005, 2017), на Западном Сангилене смена тектонической обстановки транспресии на транstenсию, идентифицируемая по смене кинематики деформаций со взбросовой на сдвиговую, отвечает возрастному рубежу ~ 495 млн лет. Так как внедрение минглинг даек происходило в интервале ~ 495–485 млн лет, то можно констатировать, что относительно низкие давления кристаллизации пород минглинг даек являются следствием их формирования в условиях позднеколлизионного растяжения. Иными словами, одним из факторов,

обеспечивших массовое образование минглинг даек в регионе, является переход от тектонических обстановок сжатия к обстановкам растяжения.

На внедрение минглинг даек синхронно со сдвиговыми деформациями указывают особенности их внутреннего строения: на участках Восточный и Тавыт-Даг зафиксированы хрупко-пластичные индикаторные структуры сдвигового генезиса. Другим свидетельством приуроченности изученных минглинг и простых даек к позднеколлизионному этапу развития структур региона является широкое распространение среди салических пород даек сильнопералюминиевых лейкогранитов (Pitcher, 1983; Chappell et al., 1988; Sylvester, 1998).

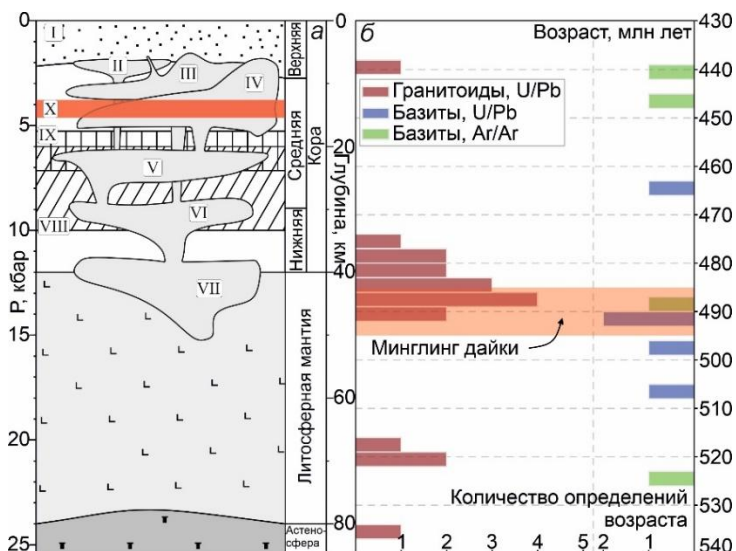


Рисунок 2. а – позиция минглинг даек на схематичном разрезе земной коры и литосферной мантии на ЮЗ окраине ТММ в раннем палеозое (Egorova et al., 2006, с изменениями). I – вулканогенно-осадочные комплексы кембрия, II – Приварлашкинский массив; III, IV – Башкымутурский массив: III – габброиды, IV – монцодиориты; V-VII – промежуточные магматические камеры; VIII – моренский метаморфический комплекс (Владимиров, 1987; Каргополов, 1997; Козаков, 1986); IX – тесхемский и эрзинский комплексы (Karmysheva et al., 2021; Полянский и др., 2023); X – минглинг даики; б – обобщенные гистограммы возраста гранитоидных и базитовых комплексов Западного Сангилена.

Внедрение минглинг даек протекало синхронно с образованием крупных базитовых и гранитоидных массивов Западного Сангилена (Рисунок 2 б). Период ~ 495–485 млн лет отвечает времени внедрения габбро-монцодиоритовых Баянкольского (~ 497–489 млн лет) и Эрзинского (~ 492 млн лет) массивов (Козаков и др., 1999, 2001; Изох и др., 2001). Особенности химического состава мафических пород не позволяют рассматривать простые базитовые и комбинированные даики в качестве питающих каналов для преимущественно габброидных массивов региона.

Иными словами, комбинированные дайки являются телами жильного типа, формировавшихся при заполнении композитным материалом слепых трещин во вмещающих породах. В случае синплутонических даек внедрение базитовой магмы происходило не в консолидированные породы за счет нарушения их сплошности, а в кристаллизующиеся plutоны кислого состава. В данном ключе, образование комбинированных и синплутонических даек является прямым доказательством существования в период ~ 495–485 млн лет базитового очага (промежуточной камеры или камер) на уровне средней коры. Привнос тепла от базитов промежуточных камер являлся одним из факторов, обеспечивших плавление неоднородного эрзинского комплекса и формирование различных по составу гранитоидных магм – салической компоненты комбинированных даек.

Шестая глава посвящена характеристике вещественного состава пород простых и минглинг даек, определению петрогенезиса пород и характеристике магматических источников, выявлению особенностей взаимодействия контрастных по составу магм.

Магматический источник мафических пород минглинг и простых даек. Состав диоритов комбинированной дайки Сайзырал во многом является отражением процессов магматической гибридизации и рассмотрен отдельно в следующем разделе. Базиты простых, комбинированных и синплутонических даек характеризуются содержаниями SiO_2 от 45.2 до 57.1 мас. %, широким диапазоном ($\text{Mg}^{\#}$ = 46.5–73.1, MgO = 2.4–9.8 мас. %), высокими концентрациями Al_2O_3 (среднее 16.2 мас. %) и TiO_2 (среднее 1.3 мас. %). Для пород характерны тренды, отвечающие фракционной кристаллизации: отмечается рост концентраций SiO_2 , TiO_2 , P_2O_5 , легких РЗЭ и Nb , снижение CaO при снижении $\text{Mg}^{\#}$.

Вариации химического состава базитов простых даек согласуются с их петрографическим составом: породы с наибольшими содержаниями амфибола и биотита характеризуются повышенными SiO_2 , TiO_2 и P_2O_5 , в то время как содержания MgO , Fe_2O_3^T и CaO растут с увеличением доли Срх в породах. В то же время, подавляющее большинство мафических пород минглинг даек представлены Bt-Amp диоритами и кварцевыми диоритами без Срх и значительными содержаниями Qz (до 15 %). Особенностью данных пород является то, что они обладают концентрациями SiO_2 и MgO на уровне амфиболовых габбро простых даек, в которых Срх является доминирующим темноцветным минералом. Несоответствие петрографического и петрохимического составов мафических пород в композитных системах объясняется моделью гидратационной кристаллизации (Beard et al., 2004). Поскольку ключевое отличие минглинг даек от простых базитовых даек заключается в их формировании при совместной кристаллизации мафических и салических магм, особенности петрографического состава базитов минглинга объясняются дополнительным привносом H_2O из гранитной магмы в процессе кристаллизации габброидов: ранние безводные ассоциации Срх + Орх + Ca-Pl + Fe-Ti оксиды замещаются ассоциацией Pl + Amp + Bt + Qz + Ttn.

Для всех образцов мафических пород даек характерно фракционированное распределение как легких, так и тяжелых РЗЭ: $(\text{La}/\text{Sm})_n$ = 1.45–3.34, $(\text{Gd}/\text{Yb})_n$ = 1.45–

3.81, на спайдер-диаграммах наблюдается обогащение LILE и обеднение HFSE с четко проявленными Nb-Ta и Zr-Hf минимумами (за исключением диоритов участка Сайзырал) (Рисунок 3 а-д).

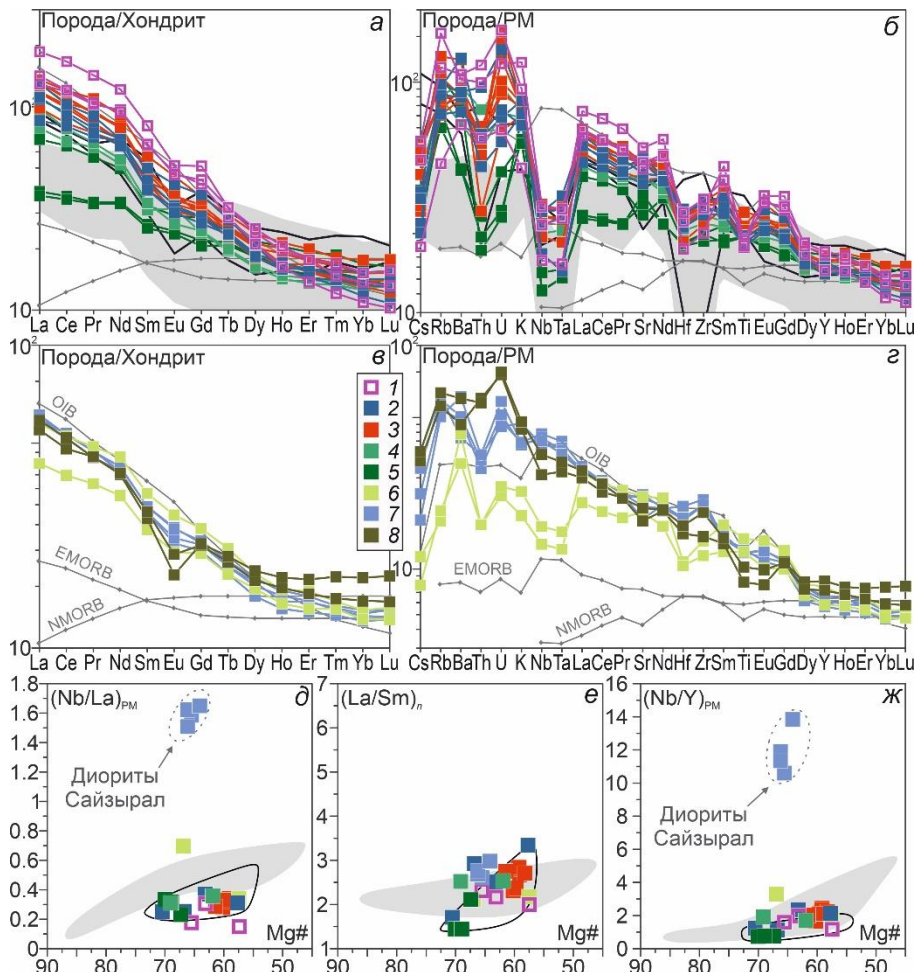


Рисунок 3. Спектры РЗЭ (а, в) спайдер-диаграммы (б, г) для мafических пород даек (здесь и далее данные для хондрита и примитивной мантии по (Sun, McDonough, 1989)), д-ж – вариации индикаторных соотношений редких элементов в мafических породах даек относительно Mg#. 1 – простые дайки, 2 – Матут, Баянкол, РЛС, 3 – Тавыт-Даг, 4 – Стрелка, 5 – Восточный, 6-8 – Сайзырал: 6 – габбро, 7 – диориты, 8 – переходные зоны. Серое поле (габронориты) и черный контур (монцодиориты) – породы Баянкольского и Эрзинского массивов по (Shelepaev et al., 2018).

Поведение индикаторных соотношений $(Nb/La)_{PM}$, $(La/Sm)n$ и $(Nb/Y)_{PM}$ при снижении Mg# свидетельствует в пользу того, что привнос корового материала в магматический источник и/или взаимодействие с салическими магмами не оказали существенного влияния на конечный редкоэлементный состав пород (Рисунок 3 д-ж). На диаграмме Th/Yb-Nb/Yb точки составов лежат выше поля мантийной последовательности, на классификационной диаграмме для базальтов различных геодинамических обстановок базиты даек соответствуют базальтам островных дуг. На диаграмме Nb/La-Nb точкам составов базитов даек расположены в поле литосферной мантии, на диаграмме Th/Nb-TiO₂/Yb – в поле субдукционно-модифицированной литосферной мантии. Rb/Nb отношения пород отвечают трендам обогащения за счет воздействия флюида при подчиненной роли расплава (Рисунок 4).

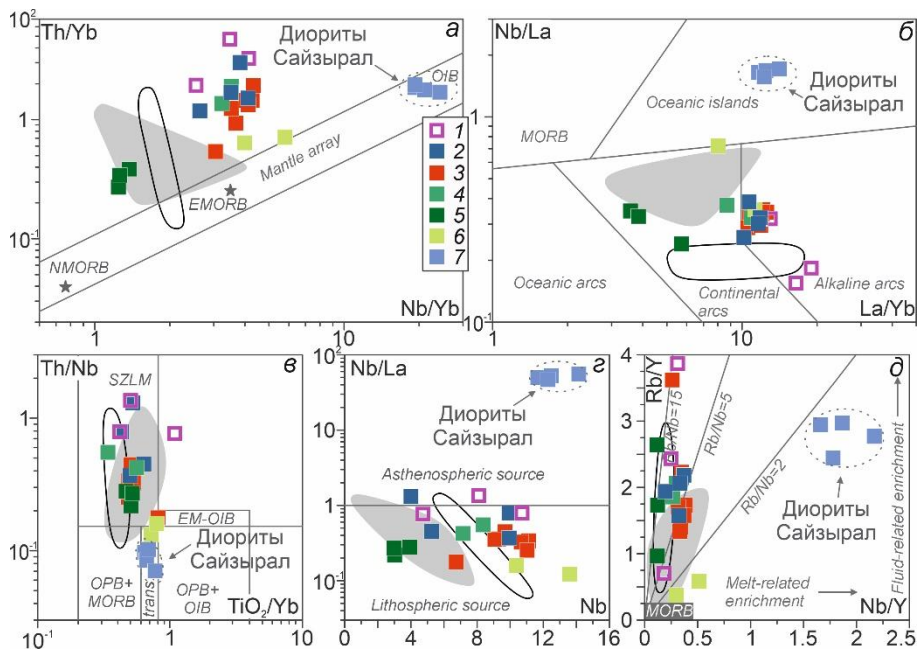


Рисунок 4. Дискриминационные диаграммы базитов даек. а – Pearce, 2008; б – Hollocher, 2012; в – Pearce et al., 2021; г – Smith et al., 1999; д – Temel et al., 1998. Легенда аналогична Рисунку 3.

Имеющиеся геохронологические данные не позволяют однозначно определить время окончания субдукционных процессов в регионе исследований. Метабазиты Агардаг-Тес-Хемского оphiолитового комплекса (~570 млн лет, Pfander et al., 1998) обладают геохимическими особенностями, свойственными базальтам островных дуг и задуговых бассейнов (Pfander et al., 2002). В то же время, согласно (Владимиров и др., 2005, 2017; Семенова и др., 2024), время ~520 млн лет, соответствующее завершению метаморфизма St-Ku типа, отвечает уже раннеколлизионному периоду. Согласно полученным геохронологическим данным, подтверждающих

структурными наблюдениями, внедрение даек протекало в диапазоне 495–485 млн лет на позднеколлизионном этапе развития структур Западного Сангиlena.

Таким образом, наблюдаемые геохимические особенности мафических пород даек нельзя ассоциировать с островодужным магматизмом. Материнские магмы базитов комбинированных, синплутонических и простых даек формировались из единого источника при плавлении материала субдукционно-метасоматизированной литосферной мантии. Исследования базитового магматизма Западного Сангиlena (Shelepaev et al., 2018) показали, что материнские магмы пород Баянкольского и Эрзинского массивов также формировались за счет плавления метасоматически-измененной литосферной мантии. Геохимические характеристики мафических пород даек и одновозрастных габброноритов и монцодиоритов крупных массивов близки (Рисунки 4, 5), что позволяет предполагать для них общий источник.

Петrogenезис диоритов комбинированной дайки Сайзырал. Относительно составов габбро, диориты дайки Сайзырал обогащены LILE, HFSE, Th и U. Содержания высокозарядных элементов в диоритах комбинированной дайки Сайзырал контрастно отличаются не только от диоритов других минглинг даек, но и от габбро, распространенных в подошвенной части дайки (Рисунок 3 в-ж). Присутствие признаков деформирования в габбро и их отсутствие в диоритах свидетельствует о том, что процессы деформирования габбро происходили до кристаллизации диоритов. В данном ключе, габбро можно рассматривать в качестве наиболее ранних продуктов кристаллизации (автолитов), которые впоследствии были подвержены деформированию и постмагматическим изменениям с привносом кремнезема, щелочей и воды, на что указывают развитие вторичного биотита и резкое увеличение Ab компоненты в краевых зонах плагиоклазов. Поскольку лейкограниты и диориты дайки имеют минглинг взаимоотношения, в качестве возможного объяснения нетипичного геохимического состава последних может выступать гибридизация. Так как LIL элементы и U являются мобильными в водном растворе, они могли быть привнесены из лейкогранитной магмы на стадии смешения. Однако, обогащение диоритов Th и HFSE не может быть объяснено таким способом. Главными акцессорными фазами диоритов являются ксеноморфный титанит и игольчатый апатит – концентраторы данных элементов.

Согласно экспериментальным данным (Perugini et al., 2006, 2008), диффузионное фракционирование редких элементов при смешении контрастных по составу расплавов контролируется адвекцией и химической диффузией. Чем выше адвекция, тем больше площадь соприкосновения расплавов и, как следствие, интенсивность диффузионного фракционирования. Скорость химической диффузии конкретного элемента зависит от значения его коэффициента диффузии. В статичных системах интенсивность диффузионного фракционирования низкая, поскольку в первую очередь определяется значением коэффициента диффузии, а вклад адвекции минимален. В то же время, если химическая диффузия протекает в хаотичных условиях магматического потока, это значительно повышает адвекцию и, как следствие, интенсивность диффузионного фракционирования редких элементов при наличии градиента их концентрации. Важным следствием магматической

гибридизации, протекающей в таких условиях, является нелинейное распределение концентраций редких элементов в продуктах смешения – гибридных расплавах (Perugini et al., 2008).

Концентрации Th и HFSE в габбро, диоритах и лейкогранитах комбинированной дайки Сайзырал не образуют линейных трендов, из чего следует, что ключевую роль в обогащении гибридного расплава данными элементами сыграл механизм, обеспечивший интенсификацию адвекции и, как следствие, диффузионного фракционирования. Поскольку в других минглинг дайках подобного обогащения базитов консервативными элементами не наблюдается, это требует специфичных условий смешения, в которых возможно значительное усиление роли адвекции. Особенности строения комбинированной дайки Сайзырал указывают на то, что перемещение контрастной базит-гранитной смеси по ослабленным зонам сопровождалось взаимным механическим диспергированием (рассеянием) контрастных по составу магм. Иными словами, в процессе транспорта композитной смеси за счет увеличения площади соприкосновения контрастных расплавов происходило усиление вклада адвекции.

Источники и петрогенезис гранитоидов минглинг и лейкогранитных даек. По петрографическому составу и петрохимическим характеристикам гранитоиды комбинированных и простых даек разделены на две группы: *группа I* – лейкограниты комбинированных и простых даек; *группа II* – биотит-рогоовообманковые граниты комбинированной дайки участка Тавыт-Даг и биотитовые граниты комбинированных даек участков Матут, Баянкол и РЛС.

Группа I – лейкограниты комбинированных и простых даек. Содержания петрогенных элементов в лейкогранитах варьируют в рамках, установленных для сильнопералюминиевых гранитов (Sylvester, 1998): SiO₂ = 71.8-76.3, TiO₂ = 0.09-0.3, Al₂O₃ = 12.7-14.1, Fe₂O₃^T = 1.1-2.7, MgO = 0.16-0.6, CaO = 0.5-1.8, Na₂O = 2.8-3.7, K₂O = 3.8-5.5. Данные концентрации, с учетом низких значений CaO/Na₂O и Al₂O₃/TiO₂, указывают на то, что данные породы являются продуктом кристаллизации магм, сформировавшихся при плавлении метаосадочного источника (Le Fort et al., 1987; White, Chappell, 1988). Породы пералюминиевые (преимущественно сильнопералюминиевые), магнезиальные, известково-щелочные и щелочно-известковистые, с глубокими отрицательными Eu и Sr аномалиями, обогащены легкими РЗЭ ((La/Yb)_n = 2-10.2, (La/Sm)_n = 2-4.3), с высокими содержаниями тяжелых РЗЭ и Y (Yb = 3.4-5.8 г/т, Y = 36.2-60.3 г/т) (Рисунок 5 а-д). Наблюдается тенденция к росту CaO/Na₂O отношения со снижением Al₂O₃/TiO₂, что говорит об их происхождении из расплавов, полученных при плавлении насыщенного плагиоклазом источника (Рисунок 5 е) (Holtz, Johannes, 1991; Patiño Douce, Beard, 1995; Skjerlie, Johnston, 1996). Это подтверждается особенностями редкоэлементного состава пород: на диаграмме Rb/Ba – Rb/Sr точки составов расположены в поле источника, бедного глинистым материалом (Рисунок 5 ж).

Среднее содержание TiO₂ в лейкогранитах составляет 0.2 мас. %, что указывает на высокие температуры плавления источника (превышающие температуру дегидратационного плавления мусковита в 760–830°C) (King et al., 2011; Liu et al.,

2014). Это подтверждается температурами насыщения цирконием (T_{Zr}) (Watson, Harrison, 1983), составляющие 767–842°C при среднем значении 822°C (n = 8). Для лейкогранитов характерны существенные вариации Rb/Sr соотношения при менее значительных вариациях содержаний Ba (Рисунок 5 з), что указывает на то, что эти породы являются продуктами кристаллизации расплавов, сформировавшихся при дегидратационном плавлении биотита (Harris, Inger, 1992).

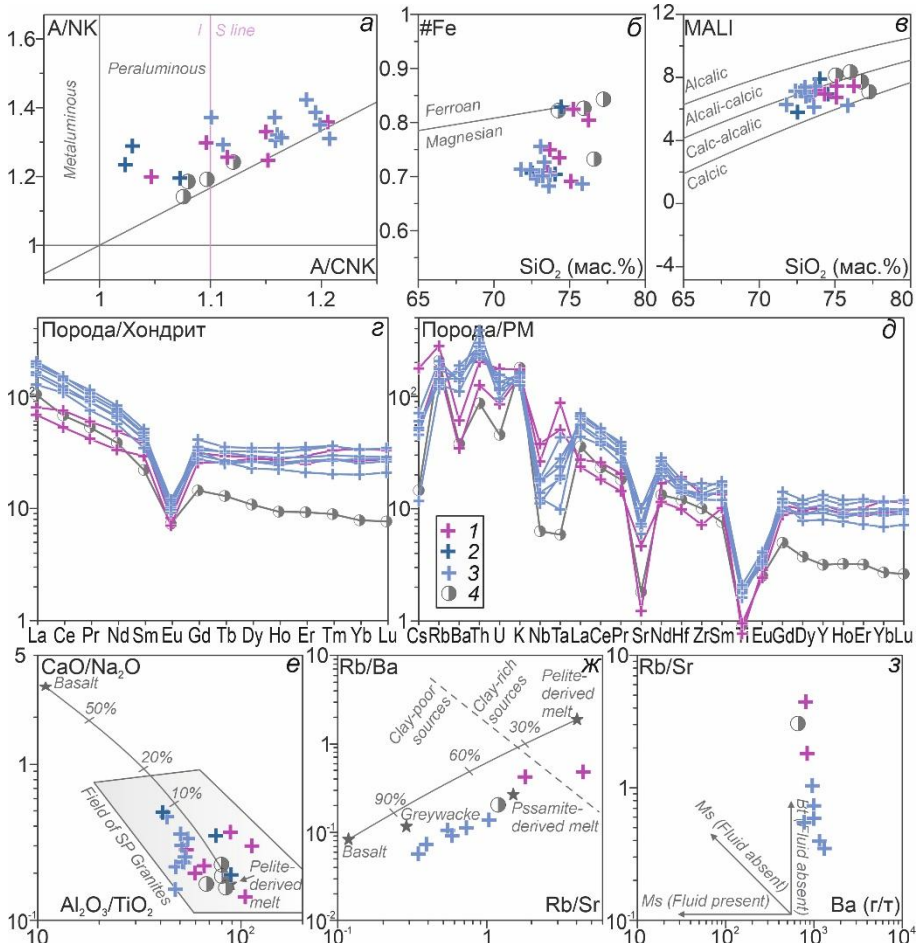


Рисунок 5. Вещественный состав лейкогранитов даек. а – I-S линия по Chappell, White, 2001; б, в – Frost et al., 2001; е, ж – Sylvester, 1998; з – Harris, Inger, 1992. 1 – простые дайки; 2 – Матут, Баянкол, РЛС; 3 – Сайзырал; 4 – монцолейкограниты ухадагского комплекса (Кармышева и др., 2022а).

Лейкограниты обладают высокими содержаниями тяжелых РЭ и Y, что указывает на отсутствие граната в качестве реститовой фазы и предполагает низкие

(<5 кбар) давления плавления (Vielzeuf, Montel, 1994). Исходя из геологии региона, наиболее вероятным протолитом для лейкогранитов комбинированных и простых даек являются метатерригенные породы эрзинского комплекса (кристаллические сланцы, гнейсы). Согласно (Козаков и др., 2005), в качестве источника для метаморфитов эрзинского комплекса выступают продукты размыва вулканических пород андезит-дацитового состава. Наиболее крупным проявлением гранитоидного магматизма на Западном Сангилене являются гранитоиды ухадагского комплекса (~ 485 млн лет), в составе которого выделяется самостоятельная фаза монцолейкогранитов (Кармышева и др., 2022а). Петрогеохимические характеристики лейкогранитов даек и монцолейкогранитов ухадагского комплекса близки (Рисунок 5), что позволяет говорить об идентичном составе протолита.

Группа II – Bt-Атр граниты участка Тавыт-Даг и Bt граниты участков Матум, Баянкол и РЛС. Относительно лейкогранитов, граниты с меньшими концентрациями SiO_2 , но с повышенными содержаниями TiO_2 , Fe_2O_3^T , MgO и CaO . Породы высококалиевые, магнезиальные, металюминиевые и слабопералюминиевые (Рисунок 6).

С учетом низких значений Rb/Zr (0.27-0.67) и низких содержаний Sr (186-439 г/т), данные петрохимические характеристики указывают на происхождение гранитов за счет плавления корового источника (White, Chappell, 1988; Patiño Douce, 1999). На дискриминационных диаграммах точки составов гранитов располагаются в областях расплавов, полученных при дегидратационном плавлении источников грауваккового и амфиболитового состава (Рисунок 7).

Породы имеют низкие значения $\text{Mg} \#$ (19-32), и высокие $\text{K}_2\text{O}/\text{Na}_2\text{O} = 1-1.7$, что предполагает высокие содержания K_2O в протолите (Rapp, Watson, 1995; Sisson et al., 2005). В эрзинском метаморфическом комплексе присутствуют линзовидные тела амфиболитов с содержаниями K_2O 1-2.2 мас. %, которые могли выступать в качестве составной части протолита гранитов. T_{Zr} , полученные для 5 образцов, составляют 801-857°C, среднее = 829°C. Данная температура отвечает нижней границе диапазона 825-925°C, когда при низкобарическом (<7 кбар) дегидратационном плавлении метабазитового источника был получен гранитный расплав (Sisson et al., 2005). Таким образом, биотитовые и биотит-амфиболовые граниты комбинированных даек являются продуктом плавления неоднородного корового источника. В качестве протолита выступали метатерригенные породы (кристаллические сланцы, гнейсы) и амфиболиты эрзинского метаморфического комплекса. Относительно лейкогранитов, граниты с низкими содержаниями тяжелых РЗЭ и Y (Рисунок 6 г, д), что, с учетом присутствия метабазитов в протолите, является следствием наличия реститового амфиболя. По вещественному составу граниты комбинированных даек идентичны одновозрастным параавтохтонным гранитам эрзинского комплекса (Кармышева и др., 2017), что позволяет рассматривать граниты даек как часть данного комплекса.

Синплутонические дайки участков Стрелка и Восточный. Гранитоиды синплутонических даек обоих участков сильно варьируют по содержанию SiO_2 : (62.3-73.8 мас. % - Стрелка; 67.0-76.2 мас % - Восточный). Породы с высокими содержаниями K_2O (Восточный – 3.3-4.9, Стрелка – 3.1-5.2 мас. %), известковово-

щелочные и щелочно-известковистые, магнезиальные, слабопералюминиевые (Рисунок 6 а-в). Гранитоиды обладают спектрами распределения РЗЭ с отрицательным наклоном и отрицательными европиевыми аномалиями (Рисунок 6 г, д). Химический состав гранитов синплутонических даек участков Стрелка и Восточный идентичен гранитам Нижнеэрзинского массива и параавтохтонным гранитам эрзинского комплекса, соответственно.

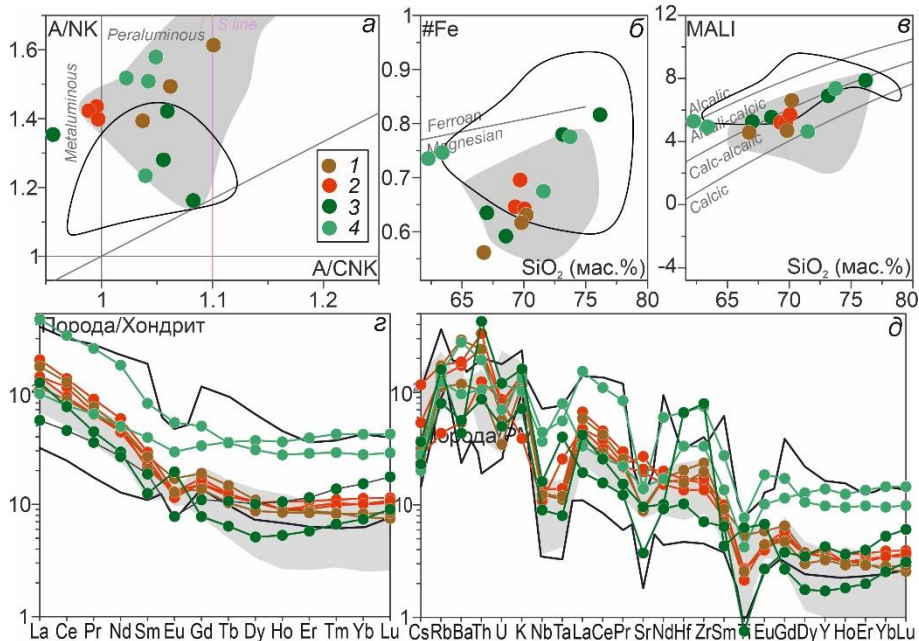


Рисунок 6. Вещественный состав гранитов комбинированных даек (группа II) и гранитоидов синплутонических даек. а – I-S линия по Chappell, White, 2001; б, в – Frost et al., 2001. 1 – Тавыт-Даг, 2 – Матут, Баянкол, РЛС, 3 – Восточный; 4 –Стрелка. Серое поле – параавтохтонные граниты эрзинского комплекса (Кармышева и др., 2017), черный контур – гранитоиды ухадагского комплекса (Кармышева и др., 2022а).

Происхождение промежуточных зон на контакте контрастных пород минглинг даек участков Сайзырал и Стрелка. В комбинированной дайке Сайзырал на контакте диоритов и лейкогранитов в средней части дайки зафиксированы породы промежуточного петрографического состава. Механизмы изохимической закалки (Blake et al., 1965; Didier, 1973; Furman, Spera, 1985; Wiebe et al., 1996; Barbarin, 2005) и in-situ магматической дифференциации базитовой магмы (Eberz, Nicholls, 1990), предложенные для мафических включений, неприменимы, поскольку протекают на самых ранних стадиях взаимодействия контрастных магм. Дополнительными ограничениями для привлечения данных моделей является отсутствие индикаторных петрографических признаков: не наблюдается резкого снижения размерности

кристаллов в породах промежуточных зон относительно диоритов; присутствует четкий контакт между диоритами и породами гибридных зон; отсутствует резкое увеличение доли темноцветов в гибридных зонах.

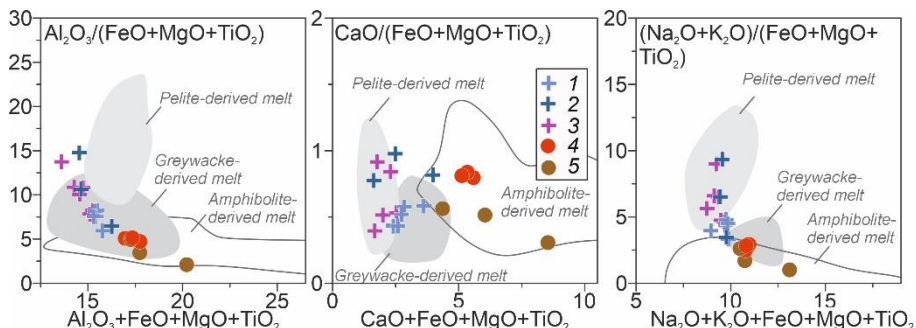


Рисунок 7. Диаграммы для характеристики протолитов грантоидов (Patiño Douce, 1999; Rollinson, 2015). 1–3 – лейкограниты: 1 – Сайзырал; 2 – Матут, Баянкол, РЛС; 3 – простые дайки; 4, 5 – граниты: 4 – Тавыт-Даг, 5 – Матут, Баянкол, РЛС.

Другим возможным механизмом образования приконтактовых гибридных зон, является рекристаллизация краевых частей включений (в данном случае – фрагментов диоритов) после их консолидации (Farmer et al., 2014). Важным аргументом в пользу данного сценария является отсутствие линейного тренда по содержаниям MgO, Fe₂O₃ и K₂O и редких элементов в ряду базит – промежуточная зона – гранит. По данным элементам породы переходных зон дайки Сайзырал формируют линейные тренды с диоритами и лейкогранитами, а составы пордообразующих минералов из гибридных пород идентичны минералам диоритов (Рисунок 8 *а, б*). Таким образом, узкие переходные зоны на контакте диоритов и лейкогранитов дайки Сайзырал являются продуктом исключительно механического взаимодействия контрастных магм.

Контакты контрастных пород синплутонических даек участка Стрелка имеют сложное строение, что выражается в широком распространении изолированных фрагментов пород преимущественно среднего состава с различными соотношениями пордообразующих минералов и гломероскоплениями амфиболя. В то же время, содержания петрогенных оксидов в пордообразующих минералах диоритов, гранитов и пород промежуточных зон идентичны (Рисунок 8 *в, г*). Данное явление не может быть следствием гибридизации, поскольку, во-первых: валовые содержания главных и редких элементов в мafических и салических породах даек не образуют трендов, отвечающих магматическому смешению, а формируют изолированные группы; во-вторых: в базитах отсутствуют петрографические признаки, характерные для пород, кристаллизовавшихся из гибридного расплава. Наиболее вероятным объяснением идентичного состава пордообразующих минералов пород является достижение температурного равновесия между взаимодействующими магмами, обеспечивавшегося за счет длительного времени их сосуществования. В качестве

механизма формирования контактовых зон между габбро и гранитоидами даек участка Стрелка выступает механическое смешение.

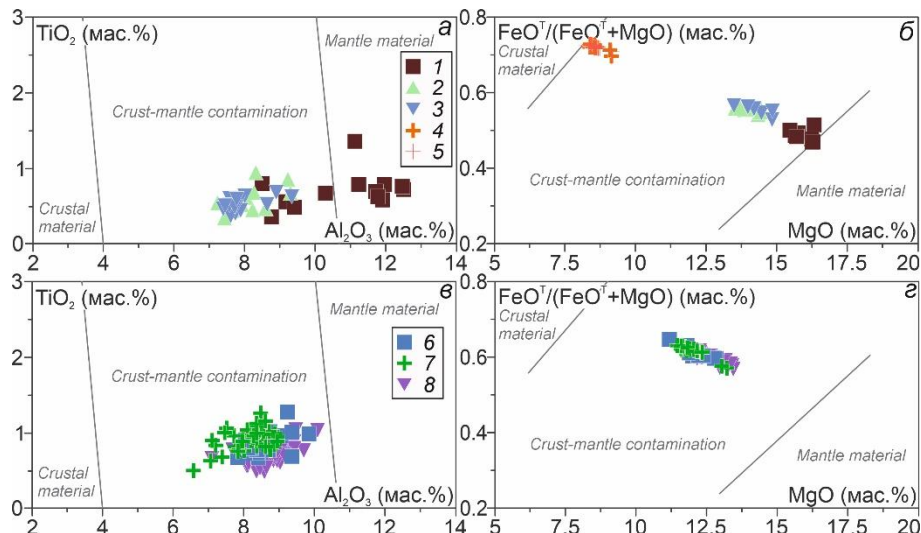


Рисунок 8. Генетические диаграммы для амфиболов (а, в, Jiang, An, 1984) и биотитов (б, г, Guo et al., 2017) даек участков Сайзырал (а, б) и Стрелка (в, г). 1-5 – Сайзырал: 1 – габбро, 2 – диорит, 3 – породы переходных зон, 4, 5 – лейкогранит: 4 – основная масса, 5 – гломероскопления. 6-8 – Стрелка: 1 – диорит, 2 – гранит, 3 – породы переходных зон.

В седьмой главе обобщены результаты проведенных исследований, сформулированы модели образования минглинг даек Западного Сангиленса.

Комбинированные дайки участков Баянкол, Матут, РЛС. Согласно классическим моделям дайкообразования (Wylie, Lister, 1995; Gonnermann, Taisne, 2015), относительно низкая температура вмещающих пород приводит к возникновению температурной и вязкостной гетерогенности расплава. В то же время, в композитных системах интенсивность образования сложных контактов зависит от контраста вязкости сосуществующих жидкостей (Perugini, Poli, 2005). Для комбинированных даек участков Баянкол, Матут и РЛС характерно сочетание сложных и линейных контактов. При этом, сложно организованные контакты чаще встречаются в центральных частях даек, а линейные – в краевых. В данном ключе, закономерности распределения контрастных пород в комбинированных дайках могут рассматриваться как следствие гетерогенности, возникающей в ходе транспорта композитной магматической смеси по трещинам.

Комбинированные дайки участка Тавыт-Даг. Основываясь на особенностях внутреннего строения комбинированных даек участка, в работе (Владимиров и др., 2019) была предложена модель их образования – сдвиговая дилатация. Синтектоническое инъектирование базитового расплава обеспечивается сдвиговыми

условиями, когда формируются эшелонированные или единичные трещины растяжения над магматической камерой основного состава. Появление трещин растяжения, с одной стороны, обеспечивает условия для экспонирования базитовых магм, с другой - способствует локальному кратковременному понижению общего литостатического давления в зоне дилатации. Автоклавный эффект со стороны кислого расплава на бортах жилы приводит к раздавливанию консолидирующейся базитовой магмы, которая при этом либо пластиически деформируется, либо претерпевает хрупкие разрывы с заполнением трещин кислым материалом.

Комбинированная дайка Сайзырал. Возникновение локальных зон пониженного давления, конформных плоскостным структурам в гнейсогранитах эрзинского комплекса инициировало одновременное внедрение лейкогранитной и базитовой магм, последняя содержала в себе автолиты габбро. В процессе перемещения композитной смеси габбро подверглись слабым деформациям и вторичным изменениям, а базитовая и гранитоидная магмы смешивались, в первую очередь, механически. При этом, за счет привноса воды и интенсификации эффекта адvection произошло обогащение базитовой магмы редкими элементами (LIL, HFS, Th). Далее происходит осаждение более плотных фрагментов базитов в базальную часть дайки и формирование минглинг структур и узких зон переходного состава.

Синплутонические дайки участка Стрелка. Сценарий образования синплутонических даек участка Стрелка опирается на результаты численного моделирования (Полянский и др., 2017) и особенности вещественного состава пород промежуточных зон даек. (I) внедрение мафической магмы в базальную часть кристаллизующегося гранитоидного plutона; (II) ремобилизация гранитоидов за счет теплового воздействия базитов; (III) возникновение возмущения на границе раздела сред, инициируемое тектоническими движениями; (IV) механическое смешение магм, приводящее к образованию менее плотной, относительно окружающих гранитоидов, композитной базит-гранитной смеси; (V) подъем композитной смеси и совместная кристаллизация, образование сложно устроенных контактовых зон за счет сохраняющегося контраста вязкости сосуществующих магм.

Синплутонические дайки участка Восточный. Особенности внутреннего строения даек позволяют предложить сценарий их образования: (I) плавление мигматитов на фоне левосдвиговых деформаций и дополнительного привноса тепла от базитовых интрузий – образование пластовых тел гнейсогранитов эрзинского комплекса; (II) достижение гнейсогранитами второго реологического порога с последующим формированием трещин и их заполнением базитовой магмой; (III) совместная кристаллизация мафической и гранитоидной магмы на фоне продолжающихся деформаций; (IV) консолидация композитной системы.

В **заключении** сформулированы основные выводы работы.

1. Взаимоотношения контрастных по составу пород минглинг даек являются следствием одновременной кристаллизации контрастных по составу магм.

2. Минглинг дайки разделены на группы синплутонических и комбинированных. Дайки первого типа образуются за счет внедрения базитовой

магмы в базальные части plutонов гранитоидного состава и последующего подъема контрастной смеси. Комбинированные дайки формируются при внедрении композитной магматической смеси по ослабленным зонам в консолидированных вмещающих породах.

3. Особенности внутреннего строения и взаимоотношений с вмещающими породами указывают на формирование минглинг даек синхронно со сдвиговыми деформациями в пределах Эрзинской тектонической зоны.

4. Петрографический состав мафических пород минглинг даек варьирует от роговообманковых габбро до кварцевых диоритов. Главным фактором, обуславливающим данную вариативность, является их рекристаллизация под воздействием флюида кислых магм. Гранитоиды комбинированных даек представлены лейкогранитами, биотит-амфиболовыми и биотитовыми гранитами. Салической компонентой синплутонических даек являются гранитоиды Нижнеэрзинского массива и паравтохтонные граниты эрзинского комплекса.

5. Минглинг дайки внедрялись на среднекоровом уровне глубинности (4-5 кбар) в возрастном диапазоне 495-485 млн лет назад. Наравне с крупными гранитоидными комплексами региона минглинг дайки являются индикаторами перехода от транспрессионного к транстенсионному этапу развития структур Западного Сангиленя.

6. Геохимический состав базитов комбинированных (кроме диоритов дайки Сайзырал) и синплутонических даек идентичен. Формирование их материнских расплавов протекало за счет плавления субдукционно-метасоматизированной литосферной мантии. Геохимические характеристики мафических пород даек и одновозрастных базитов Баянкольского и Эрзинского массивов идентичны, что позволяет предполагать для них общий источник.

7. По химическому составу салические породы комбинированных дак разделены на две группы: I) сильнопералюминиевые лейкограниты, II) слабопералюминиевые граниты. Наблюдаемое разнообразие обусловлено тем, что материнские расплавы формировались при плавлении неоднородного корового субстрата (кристаллические сланцы, гнейсы и амфиболиты эрзинского комплекса). Салическими породами синплутонических даек являются гранитоиды Нижнеэрзинского массива и паравтохтонные граниты эрзинского комплекса.

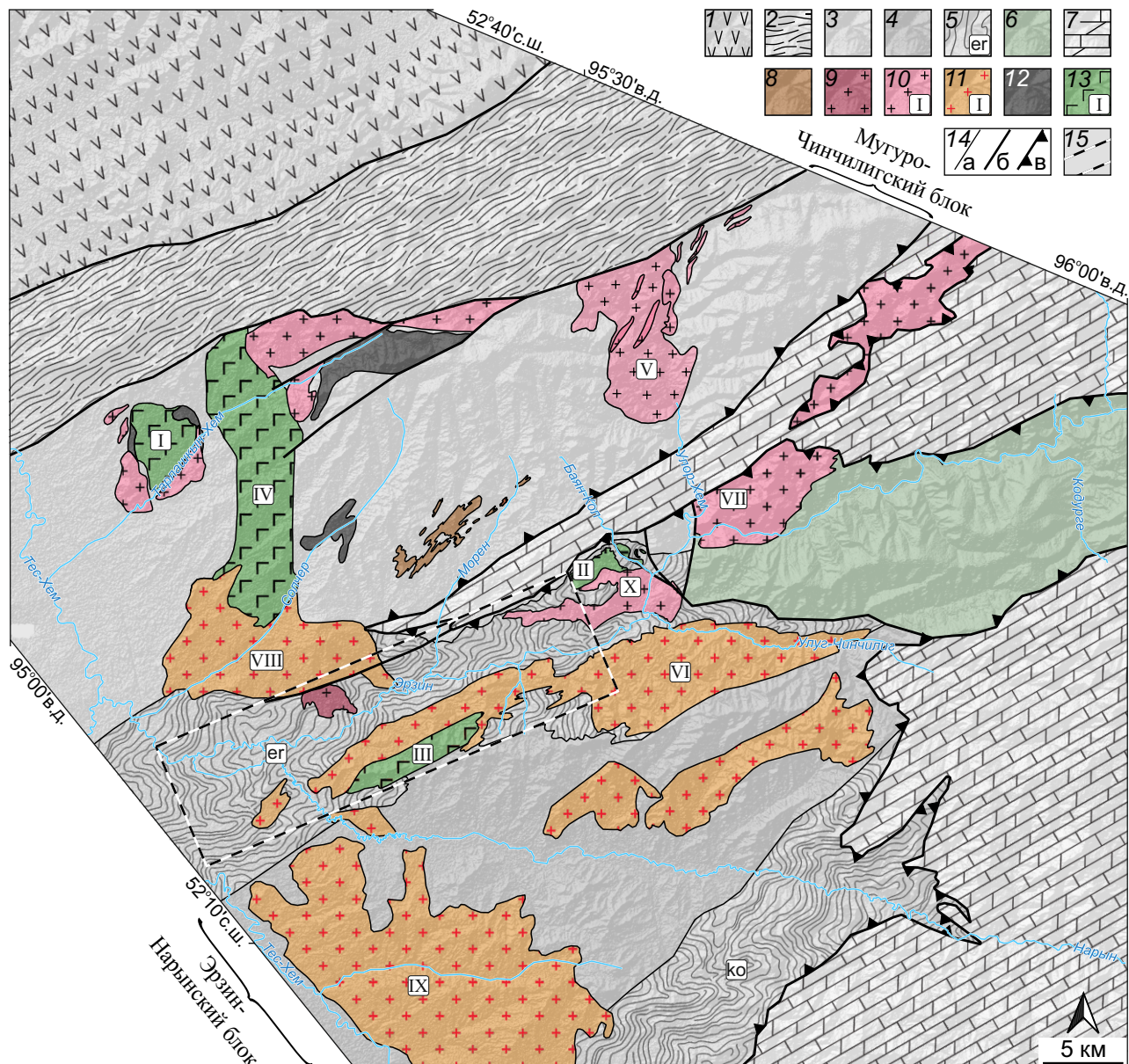
8. Взаимодействие контрастных по составу магм при образовании комбинированных и синплутонических даек характеризуется преобладанием механического смешения, процессы гибридизации проявлены незначительно. Исключением являются те случаи, когда смешение происходит при совместном перемещении композитной смеси по ослабленным зонам и сопровождается взаимным рассеянием магм (участок Сайзырал). В этом случае возможно обогащение базитовой магмы HFSE, LILE и Th.

СПИСОК ОСНОВНЫХ РАБОТ ПО ТЕМЕ ДИССЕРТАЦИИ

1. Кармышева И.В., Владимиров В.Г., Владимиров А.Г., Шелепаев Р.А., Яковлев В.А., Васюкова Е.А. Тектоническая позиция минглинг-даек в аккреционно-коллизионной системе ранних каледонид Западного Сангилена (Юго-Восточная Тува) // Геодинамика и тектонофизика, 2015; т. 6(3), с. 289-310. doi: 10.5800/GT-2015-6-3-0183
2. Полянский О.П., Семенов А.Н., Владимиров В.Г., Кармышева И.В., Владимиров А.Г., Яковлев В.А. Численная модель магматического минглинга (на примере Баянкольской габбро-гранитной серии, Сангилен, Тува) // Геодинамика и тектонофизика. 2017, т. 8(2), с. 385-403. doi: 10.5800/GT-2017-8-2-0247
3. Владимиров В.Г., Кармышева И.В., Яковлев В.А., Травин А.В., Цыганков А.А., Бурмакина Г.Н. Термохронология минглинг-даек Западного Сангилена (Юго-Восточная Тува): свидетельства раз渲ла коллизионной системы на Северо-Западной окраине Тувино-Монгольского массива // Геодинамика и тектонофизика, 2017, т. 8(2), с. 283-310. doi: 10.5800/GT-2017-8-2-0242
4. Цыганков А.А., Бурмакина Г.Н., Яковлев В.А., Хубанов В.Б., Владимиров В.Г., Кармышева И.В., Буюнтуев М.Д. Состав и U-Pb (LA-ICP-MS) изотопный возраст цирконов комбинированных даек Западного Сангилена (Тувино-Монгольский массив) // Геология и геофизика, 2019, т. 1, с. 55-78. doi:10.15372/GiG2019004
5. Владимиров В.Г., Яковлев В.А., Кармышева И.В. Механизмы магматического минглинга в композитных дайках: модели диспергирования и сдвиговой дилатации // Геодинамика и тектонофизика, 2019, т. 10(2), с. 325-345. doi:10.5800/GT-2019-10-2-0417
6. Яковлев В.А., Кармышева И.В., Владимиров В.Г., Семенова Д.В. Геологическое положение, источники и возраст комбинированных даек СЗ окраины Тувино-Монгольского массива (Западный Сангилен, ЮВ Тува) // Геология и геофизика, 2024, т. 65 (2), с. 222-243. doi: 10.15372/GiG2023158

Приложение 1

Схема геологического строения Западного Сангилена (по Владимиров и др., 2005, 2017; Кармышева и др., 2022а)



1 – Таннуульская островная дуга; 2 – офиолиты Агардагской зоны; 3-6 – метаморфические комплексы: 3 – моренский, 4 – тесхемский, 5 – эрзинский, 6 – чинчиллигский; 7 – породы сангиленской серии; 8-11 – гранитоидные массивы: 8 – ортоадырского комплекса, 9 – Матутский гнейсогранитный I-типа, 10 – прочие массивы I-типа; 11 – ухадагского комплекса (А-тип); 12 – гипербазитовые массивы; 13 – габбро-монцодиоритовые массивы; 14 – геологические границы: а – магматических и метаморфических комплексов, б – крутопадающие разломы, в – надвиги; 15 – **область исследований**. Буквенные обозначения – породы эрзинского комплекса в пределах Эрзинской (ер) и Кокмолнгаргинской (ко) тектонических зон. Римские цифры – магматические массивы: I – Правотарлашкинский, II – Баянкольский габбро-монцодиоритовый, III – Эрзинский, IV – Башкымгурский, V – Улорский, VI – Нижнеэрзинский, VII – Нижнеулорский, VIII – Ухадагский, IX – Тесхемский, X – Баянкольский гранодиоритовый.